

Figure 5.3 - Parties réelles du signal bande de base avant et après filtrage de Nyquist.

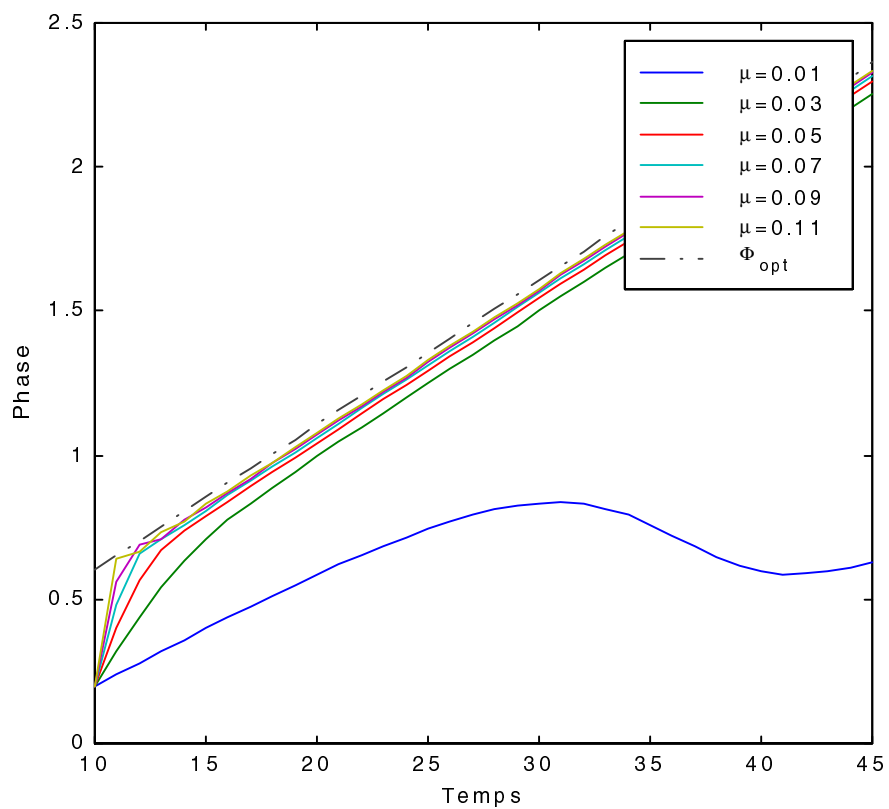


Figure 5.4 - Évolution de la phase identifiée par une boucle de Costas d'ordre 1 , pour différentes valeurs de μ .

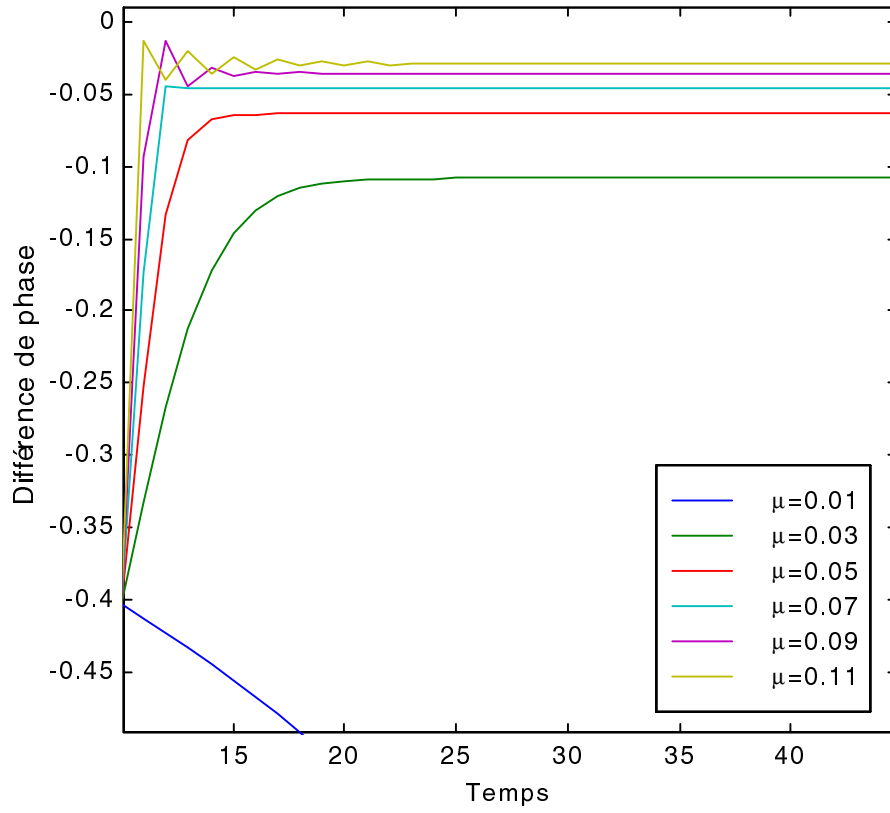


Figure 5.5 - Différence entre la vraie phase et la phase identifiée par une boucle de Costas d'ordre 1 , pour différentes valeurs de μ .

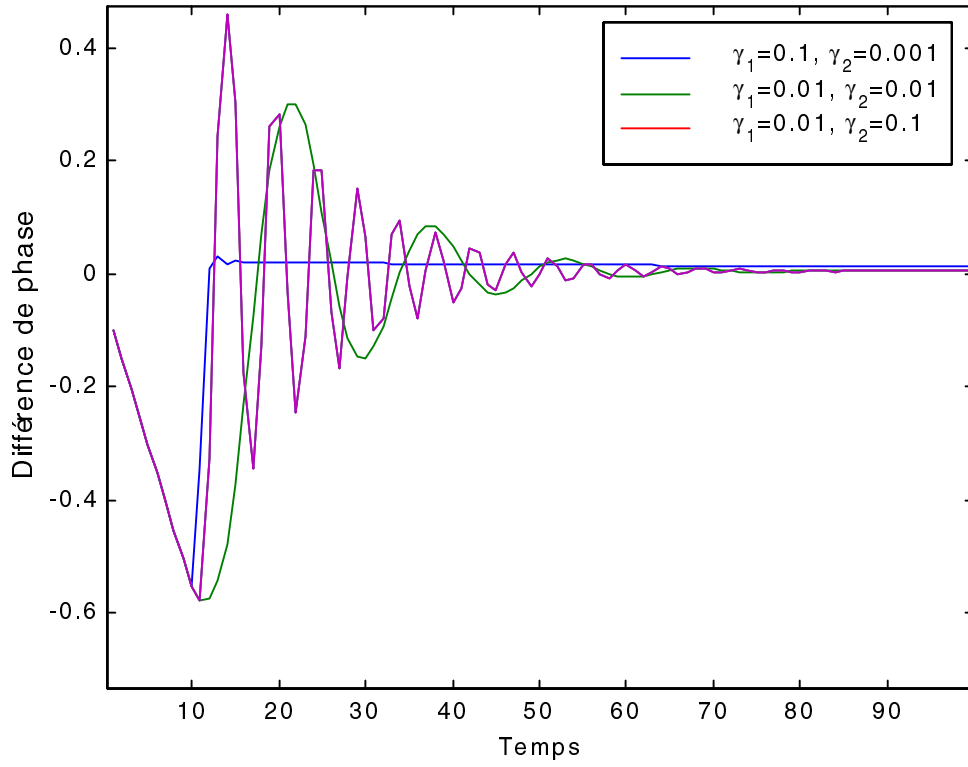


Figure 5.6 - Écart entre la phase théorique et la phase estimée par la boucle de Costas d'ordre 2, pour différentes valeurs des paramètres.

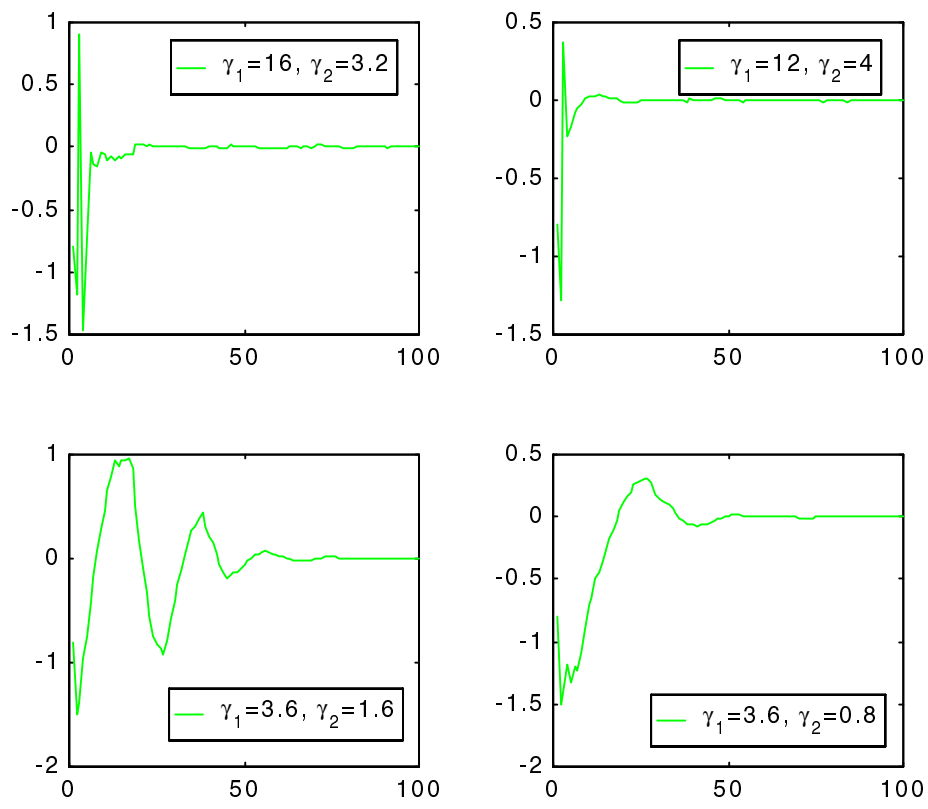


Figure 5.7 - Récupération de rythme pour une erreur sur la période symbole : différence entre l'instant d'échantillonnage optimal et l'instant calculé, au cours des itérations, pour différentes valeurs des paramètres.

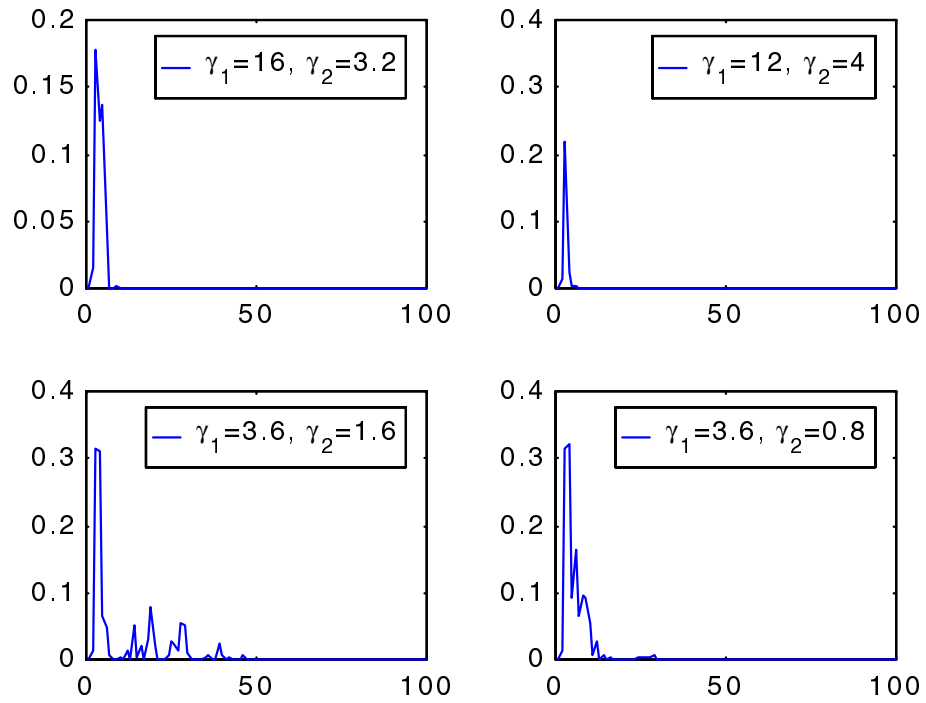


Figure 5.8 - Récupération de rythme pour une erreur sur la période symbole : erreur quadratique entre le signal interpolé et la décision, au cours des itérations, pour différentes valeurs des paramètres.

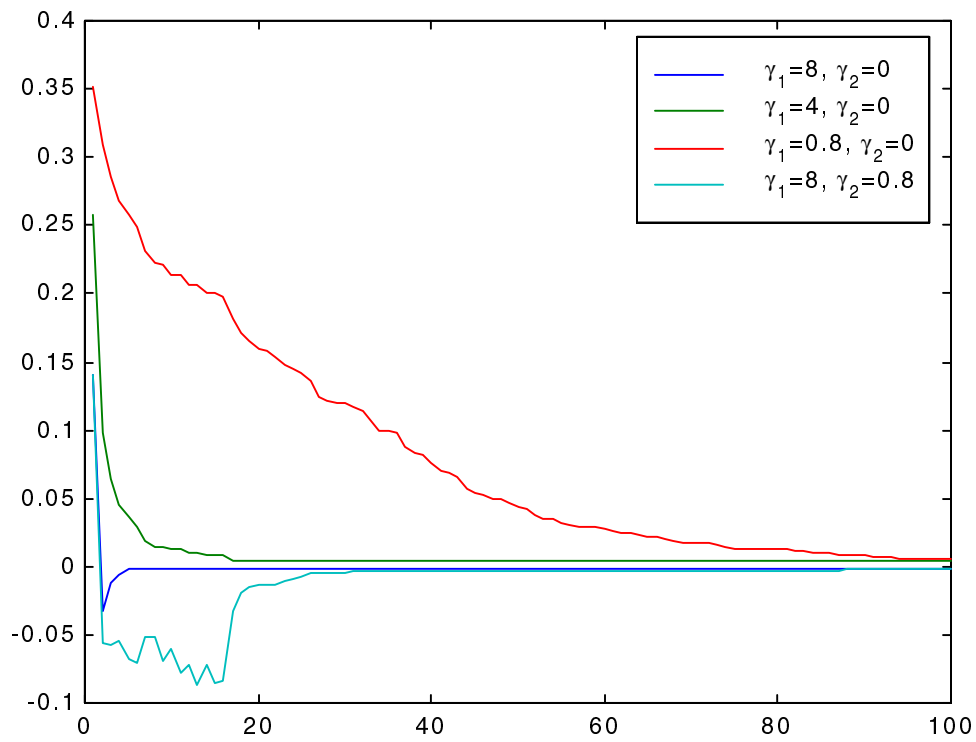


Figure 5.9 - Récupération de rythme pour un retard d'échantillonnage : différence entre l'instant d'échantillonnage optimal et l'instant calculé, pour différentes valeurs des paramètres.